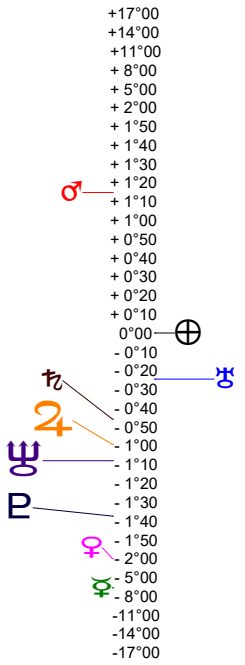
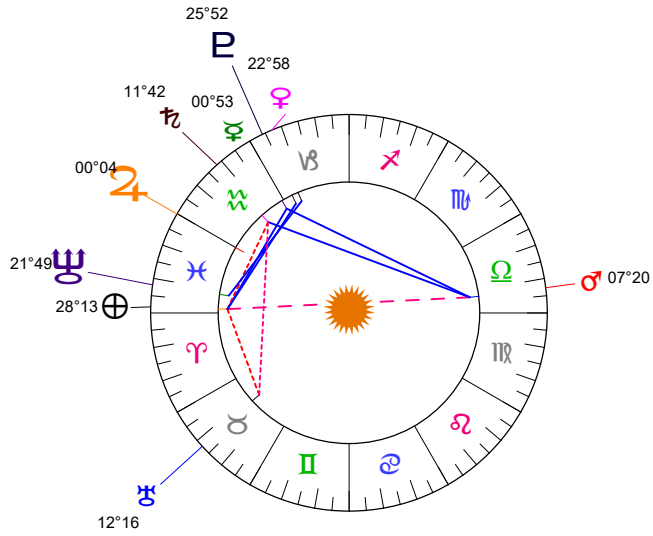


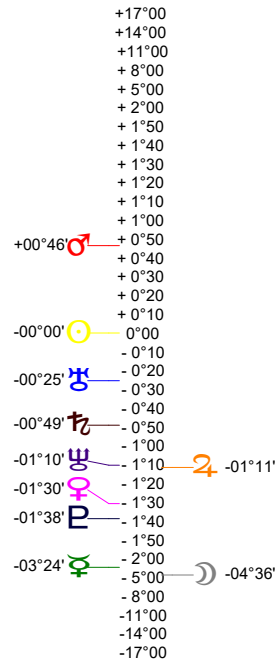
Latitudes héliocentriques



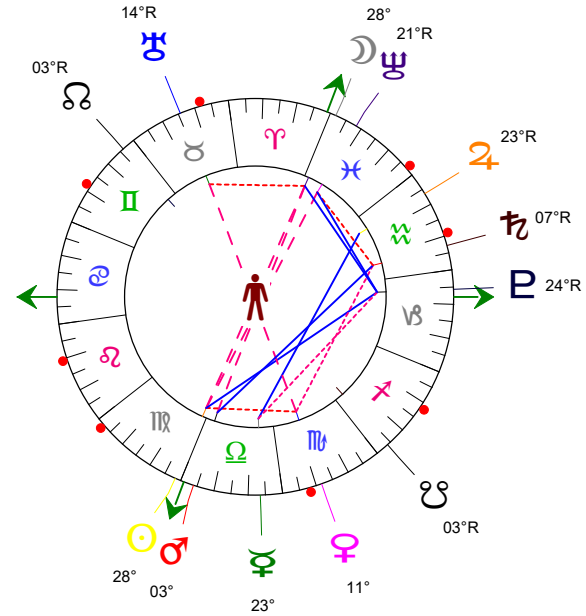
Sphère hélio-écliptique - Intégration



Latitudes géo-écliptiques



Sphère topo-géo-écliptique - Relation



Distances au Soleil en UA

|   |        |   |
|---|--------|---|
| ♁ | 1.004  | - |
| ♂ | 0.436  | - |
| ♃ | 0.728  | + |
| ♄ | 1.642  | - |
| ♅ | 5.017  | - |
| ♆ | 9.941  | - |
| ♇ | 19.737 | - |
| ♈ | 29.922 | - |
| ♉ | 34.366 | + |

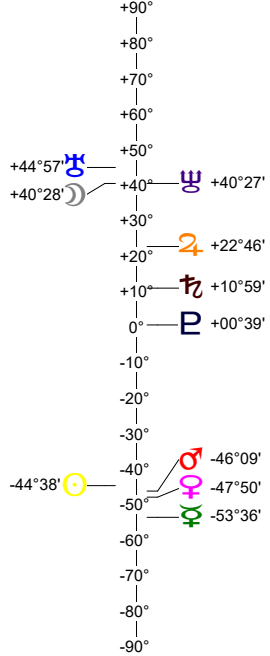
Domification : Placidus

|         |        |
|---------|--------|
| I-VII   | 22♁♂08 |
| II-VIII | 10♁♂35 |
| III-IX  | 02♁♂28 |
| IV-X    | 00♁♂59 |
| V-XI    | 08♁♂05 |
| VI-XII  | 18♁♂21 |

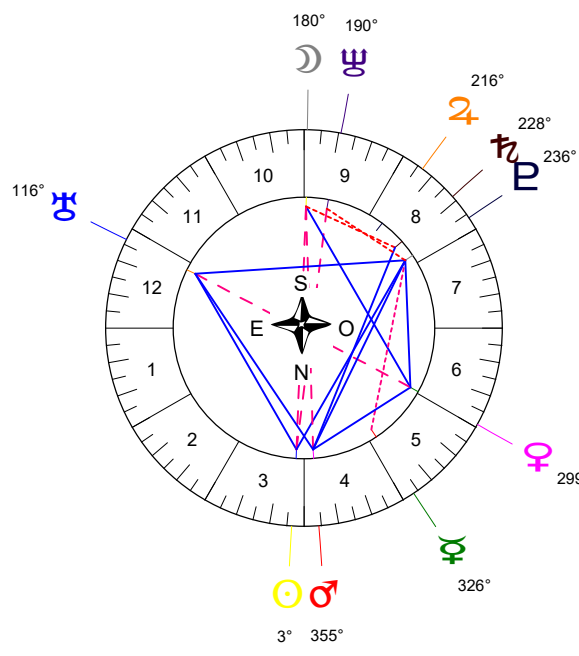
Rétrogradations

|   |                         |
|---|-------------------------|
| ♁ | du 20 06 21 au 18 10 21 |
| ♂ | du 23 05 21 au 11 10 21 |
| ♃ | du 20 08 21 au 18 01 22 |
| ♄ | du 25 06 21 au 01 12 21 |
| ♅ | du 27 04 21 au 06 10 21 |

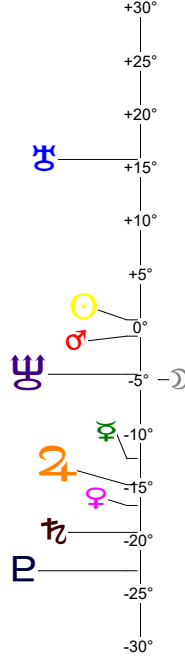
Hauteurs



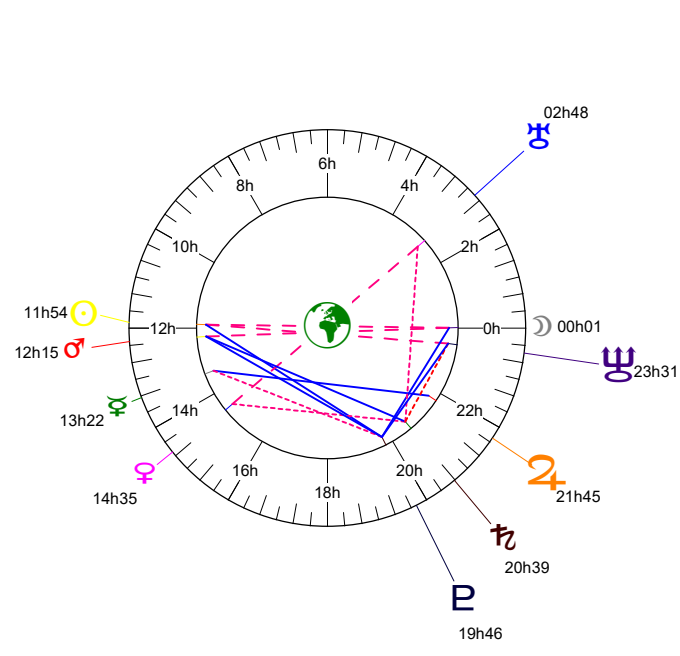
Sphère locale - Sujet



Déclinaisons



Sphère géo-équatoriale - Objet



Distances à la Terre en UA

|   |            |   |
|---|------------|---|
| ♁ | 1.004      | - |
| ♂ | 389 989 km | → |
| ♃ | 0.854      | - |
| ♄ | 0.963      | - |
| ♅ | 2.638      | - |
| ♆ | 4.159      | + |
| ♇ | 9.278      | + |
| ♈ | 19.028     | - |
| ♉ | 28.925     | + |
| ♊ | 33.912     | + |

IG relatives

|   | Héliocentr. | Géocentr. |
|---|-------------|-----------|
| ♁ | 37          | 36        |
| ♂ | 11          | 33        |
| ♃ | 3           | 28        |
| ♄ | 6           | 5         |
| ♅ | 85          | 0         |
| ♆ | 15          | 83        |
| ♇ | 18          | 48        |
| ♈ | 68          | 66        |
| ♉ | 55          | 90        |
| ♊ |             | 53        |